

## 技術資料

UDC 669.14.019.355.2 : 669.14.019.52

## 鉄鋼材料の高温水中腐食\*

伊藤 伍郎\*\*

Aqueous Corrosion of Ferrous Materials at Elevated Temperature

Goro Ito

## 1. はじめに

ここで高温水腐食としてとりあげたのは、ボイラおよび水冷形原子炉など、熱媒体として水または水蒸気を用いる装置での腐食問題で、水の場合を主とし、蒸気の場合にも一部でふれることとした。これらの装置では使用条件が高温高圧であるばかりでなく、高純度水が使われ、さらに安全性が特に重視されるなどで、問題となる腐食の形態も腐食の許容量も他の工業装置の場合とはちがっている。しかし、最近とくに問題となつてきているこれらの装置における応力腐食割れについては本誌の既載資料<sup>1)</sup>のなかに僅かではあるがふれられており、詳述するすれば多くの紙数を要するので、稿を改めることとしてここでは省略した。

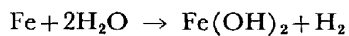
## 2. 高温水中でおこる鉄の腐食反応

鉄の水腐食に及ぼす温度の影響は常圧での水の沸点位まではよくしらべられているけれども、それ以上の温度になると研究はかならずしもまだ十分とはいえない。

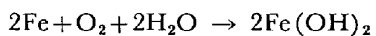
室温付近の腐食反応速度は活性化支配の場合には温度が10°C上昇するごとに約2倍くらいになることが多いが、拡散律速の時には必ずしもそうならない。例えば、中性の水中での鉄の腐食のように溶存酸素の拡散律速の場合には拡散速度の温度係数が小さいので、溶存酸素濃度が一定であつたとしても、腐食速度の増加は数十度で倍になる程度である。しかも酸素の溶解度の温度による変化は複雑で、圧力も影響するので、腐食速度と温度との関係は単純にはきまらない。高温では水そのものの酸化性も強くなるが、その解離度が250°C位で極大を示すことは腐食速度の極大がこの温度付近であらわされることと関連があるのかもしれないがたしかめられてはいない。

50°C以下の水と鉄との反応は、酸化剤がすくなくて水素発生電位より低い場合には、鉄が電子を失つてイ

オン化するアノード反応と、水素発生のカソード反応との組み合わせとして



となる。酸化剤が十分あつて、水素発生電位より高い場合にはカソード反応が酸化剤の還元となるので、酸化剤が溶存酸素であれば



となるが、いづれにしても腐食生成物は水酸化第一鉄である。水酸化第一鉄は溶解度が大きいので<sup>2)</sup>、保護被膜としてほとんど働かない。また50°C以上では分解してマグネタイト( $\text{Fe}_3\text{O}_4$ )を生ずる反応、すなわち



の反応速度が極めて速いので、腐食生成物としては $\text{Fe}_3\text{O}_4$ だけが観察される。また、この反応はSchikorr反応として知られており<sup>3)</sup>、水中の微量の不純物によつて反応速度が著しく増加するといわれている。

水酸化第一鉄の生成にあたつては、鉄原子は金属と $\text{Fe}_3\text{O}_4$ 被膜との界面で電子を失つて(アノード反応)イオンとなり、電子とともに酸化膜中を拡散し、酸化膜-環境界面で水を還元して水酸化第一鉄と水素を生成する(カソード反応)。環境が水の場合には、電子は水蒸気中酸化の時と同様に酸化物-環境界面において酸素をもつ陰イオンを生ずるほかに、陽イオンの放電、例えは水素イオンの還元がおこる。また水中のアノード反応で生成した鉄イオンは水蒸気中の場合と同様に酸化物格子を成長させるほかに、酸化物-水界面を通して陽イオンとして水中に出て行くことも可能であり、これが腐食生成物の水中放出の一つの原因である。

酸化物皮膜の生成速度は反応種の金属面への近接と腐食生成物の金属面からの離脱との速度に支配されるが、この物質移行は $\text{Fe}_3\text{O}_4$ がち密な被膜をつくれば妨げられる。もし酸化膜中に孔があれば、それを通つて鉄の水酸化物が拡散する速度が大きいので腐食は加速される<sup>4)</sup>。酸化された鉄の約半分は $\text{Fe}_3\text{O}_4$ 被膜をつくり、残りは

\* 昭和51年4月23日受付 (Received April 23, 1976)

\*\* 金属材料技術研究所 工博 (National Research Institute for Metals, 2-3-12 Nakameguro Meguro-ku Tokyo 153)

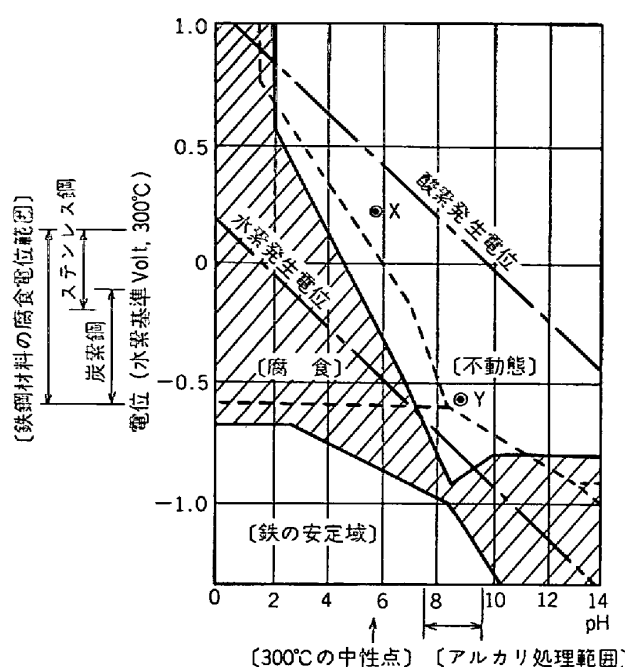


図 1 300°C の水中の鉄の腐食図  
(実線 300°C, 破線 25°C)

Xは酸素で不動態化した中性水中の鉄の電位を、またYは脱酸素したアルカリ処理水中の鉄の電位を示す。(LEWIS<sup>9</sup>)の図に他のデータを入れて作図した)

水中に放出され、その一部は金属面に沈析する<sup>5</sup>。そのため酸化膜は二重構造となる<sup>6,7</sup>。

常温の水と金属との間におこりうる反応の種類を、水のpHとその酸化性(電位)の2元図上に描いた電位-pH図とそれを用いてつくられた腐食図は、腐食反応のおこる環境条件を概観するのに便利に使われている。そこでこれを高温の場合にまで拡げようとする試みが行なわれている。鉄の場合にも、約350°Cまでの電位-pH図がいくつか発表されているが、化合物、特に錯体の熱力学的数据が十分ないために必ずしも完成されているとはいえない<sup>8)~10)</sup>。しかし、それらをもとにして、Fe<sub>3</sub>O<sub>4</sub>とα-Fe<sub>2</sub>O<sub>3</sub>とによって不動態が生じるとした時の300°Cの腐食図の一例は図1<sup>9</sup>のようである。

同図には比較のために25°Cの場合が破線で示してある。これからわかるように高温の腐食域は全体として低電位側になつていている。このことは全pH域にわたつて弱酸化性環境での腐食域が広くなつていて、環境の酸化性がある程度増せば常温のときより、不動態化しやすくなることである。しかし、pHが9以上のアルカリ性環境中の腐食域は温度上昇によつて著しく広くなつていて、また同図には鉄鋼材料の高温水中での腐食電位範囲が書き込んであるが、これからわかるように、金属側では不動態化特性の向上、環境側では酸化剤の除去または添加あるいはアルカリ処理などによつて腐食抑制ができる、ることは常温の場合と変わらない。

溶存酸素を除去し、またpHをあげた水がボイラ操業には一般化しているが、熱伝達面におけるアルカリ濃縮または塩化物を含む復水器冷却水の漏洩による塩化物混入のためのpH低下などがおこつた場合、いずれも腐食の増加につながるであろうことが図1から察せられる。アルカリ濃縮による腐食を防ぐため抑制アルカリ処理あるいは揮発性薬品処理なども使われるが、緩衝能力がすくないと塩化物による酸腐食を抑制できなくなるおそれがある。一方、原子炉では酸素除去のできない場合があるが、酸素による不動態化を期待した中性水操業がボイラでも提案されている。しかしこの場合には塩化物の混入に厳重な注意が必要である。

### 3. 腐食による被膜形成と生成物の放出

高温水中での鉄の腐食生成物は一部は表面被膜として金属面に付着し、一部は水中に放出される。この被膜は下地を保護する能力があるので、腐食速度は時間の経過とともに放物線則(あるいは対数則)に従つて減少する。そこで、工学上の要求はこの様な被膜がいかなる条件のもとに生成し、また、それを保持するにはいかなる条件が必要かを知ることにある。

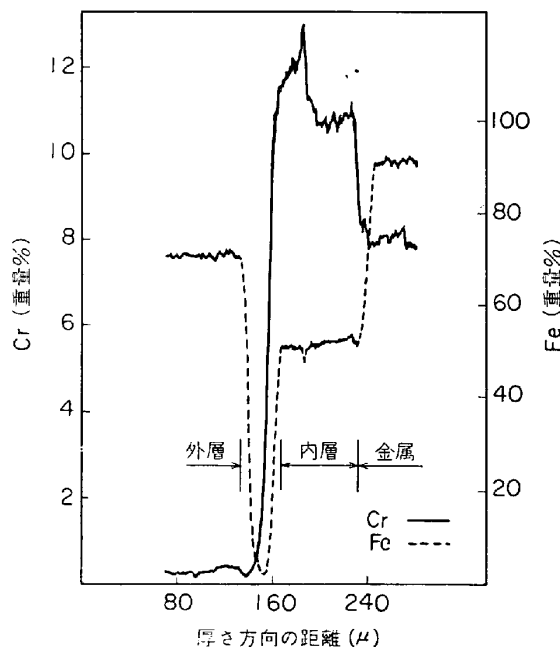
鉄が水と反応してできる腐食生成物として知られているものには表1<sup>11)</sup>のようなものがある。これらのうち低級の酸化物である Fe(OH)<sub>2</sub> や FeO は高温水中では不安定で、容易により高次の酸化物に変化する。FeOOH は室温での腐食生成物に多く認められ、また Fe<sub>3</sub>O<sub>4</sub> の酸化によつてもできるが、200°C以上では脱水して Fe<sub>2</sub>O<sub>3</sub> になる。

高温水中で鉄鋼の表面に形成する二重被膜のうち、外層は正方晶または八面体の大きさ約 1 μ 以上のルーズな結晶質であるのに対して<sup>4)12)13)</sup>、内層は一様な密着性のよい大きさ約 0.1 μ あるいはそれ以下の微細な結晶よりなつていて<sup>4)6)12)13)15)</sup>。

大気中で鉄の表面にできていた酸化膜は高温水中で Fe<sup>2+</sup>となつて溶け、これが Schikorr 反応で Fe<sub>3</sub>O<sub>4</sub>となると溶解度が激減して被膜を形成する。この溶解度変化が鉄原子を金属格子中から Fe<sub>3</sub>O<sub>4</sub> の成長域へ送り出す駆動力となる。内層における Fe<sub>3</sub>O<sub>4</sub> の形成核は大きさ (3~10) × 10<sup>2</sup> Å で密度は 10<sup>10</sup>/cm<sup>2</sup> 程度といわれている<sup>12)</sup>。また下地金属とはトポタキシャルの関係にあるが、一方外層は下地とエピタキシャルであり<sup>15)</sup>形成核密度は 10<sup>8</sup>/cm<sup>2</sup> 程度である<sup>12)</sup>。鉄イオンは内層と金属との界面から外方へむけて拡散し、同時に酸素(あるいは酸素を含む)イオンは逆むきに拡散し、それらのフラックスは相等しく方向だけが逆であり、またこの変化は容積変化がないため<sup>6)12)</sup>、内層の成長ははじめの金属面から内方へむけて成長する形となる<sup>4)6)</sup>。しかし内層も完全な保護被膜ではなく、その溶出もありうるし<sup>14)</sup>、またそのためおよび再結晶により連続はしていないまでも小

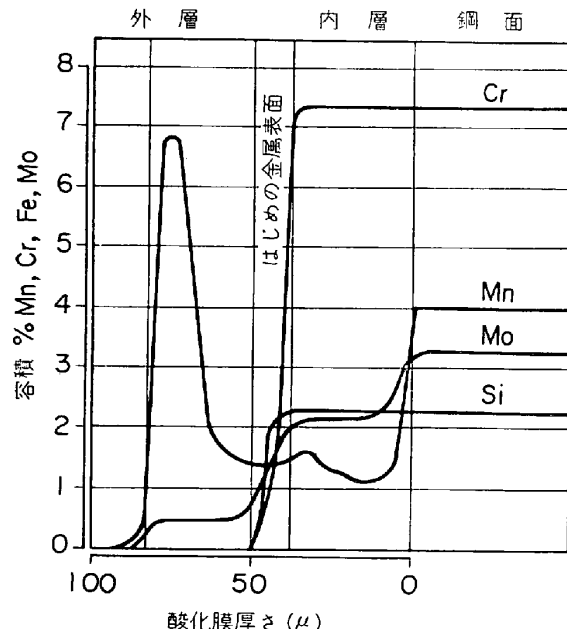
表1 水中の鉄の腐食生成物<sup>1)</sup>

組成 (鉱物名称)	色	磁性	電導性	密度	温度による変化
$\text{Fe(OH)}_2$	白色	常磁性	絶縁体	3.40	約100°Cで分解して $\text{Fe}_3\text{O}_4$ と $\text{H}_2$ となる
$\text{Fe}_{0.95}\text{O} \sim \text{Fe}_{0.83}\text{O}$ (Wustite)	黒色	常磁性	半導体	5.4~5.73	1371~1424°Cで融解し, 570°Cで Fe と $\text{Fe}_3\text{O}_4$ に分解する。
$\text{Fe}_3\text{O}_4$ (Magnetite)	黒色	強磁性	電子伝導体	5.20	1597°Cで融解
$\alpha\text{-FeOOH}$ (Goethite)	黄色	常磁性	絶縁体	4.20	約200°Cで脱水して $\alpha\text{-Fe}_2\text{O}_3$ になる
$\beta\text{-FeOOH}$	淡褐色	—	—	—	約230°Cで脱水して $\gamma\text{-Fe}_2\text{O}_3$ になる
$\gamma\text{-FeOOH}$ (Lepidocrocite)	オレンジ色	常磁性	絶縁体	3.97	約200°Cで脱水して $\gamma\text{-Fe}_2\text{O}_3$ になる
$\gamma\text{-Fe}_2\text{O}_3$ (Maghemite)	褐色	強磁性	半導体~絶縁体	4.88	250°C以上で $\alpha\text{-Fe}_2\text{O}_3$ に変態する
$\alpha\text{-Fe}_2\text{O}_3$ (Hematite)	煉瓦色から黑色	常磁性	絶縁体	5.25	1457°C, 1 atm で分解して $\text{Fe}_3\text{O}_4$ になる

図2 300°C, 0.1mol/l  $\text{NiCl}_2$  液中で 8%Cr 鋼に生成した腐食被膜の成分分布(MANNほか<sup>21)</sup>)

孔が存在することがわかつてきただので<sup>5)</sup>, 反応の律速段階は酸素を含む陰イオンの小孔中の液のなかの拡散であるといわれるが<sup>4)5)</sup>, 同時に金属-酸化物界面には薄い障壁層が存在するともいわれている<sup>16)</sup>.

一方, 外層はいったん溶出した Fe イオンの再沈析によるもので<sup>5)7)</sup>, その結晶粒度は金属面の条件により差があるが, 内層のはば 10 倍程度であり<sup>12)17)</sup>, 一様でなく密着性もすくないので, 流水中では懸濁質となつて流しられることが多い<sup>11)</sup>.

図3 600°C 水蒸気中でのボイラ用低合金鋼の酸化膜中の成分分布(EFFERITZ<sup>15)</sup>)

以上のこととはステンレス鋼の場合でもほぼ同じであるが<sup>17)</sup>, 被膜は Fe と同時に Cr あるいは Ni を含む  $\text{M}_3\text{O}_4$  形のスピネル (溶存酸素がすくないとき) またはそれに Fe と Cr の  $\text{M}_2\text{O}_3$  の混在したもの (溶存酸素が多いとき) であり<sup>18)19)</sup>, インコネルではさらに  $\text{NiO}$  も報告されている. 溶存酸素などが多くて液の酸化性の強いときには Cr はクロム酸あるいは重クロム酸となつて溶出するが, 酸化剤のすくない液中では Cr は内層に濃縮される<sup>20)21)</sup>. Mn は溶解度が大きいので外層に集まる<sup>20)</sup>. 図

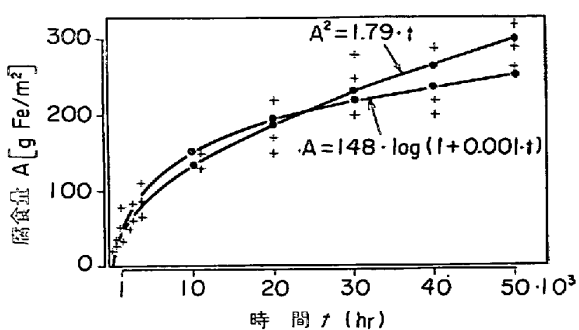


図4 貫流ボイラ水(380°C, 300atm, pH~9.5)中の低合金鋼の腐食(EFFERITZ<sup>15)</sup>)

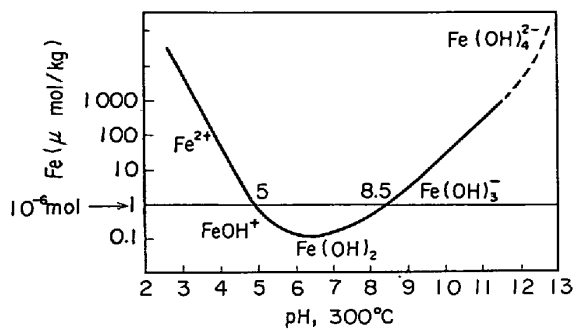


図5 300°CにおけるFe₃O₄の溶解度(SWEETON and BAES<sup>22</sup>)

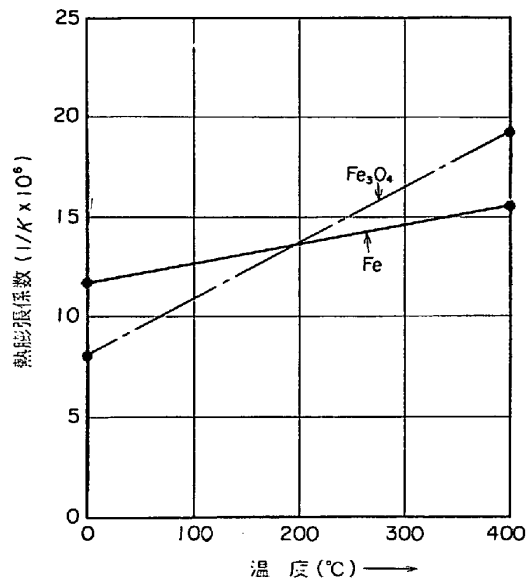


図6 鋼とFe₃O₄との熱膨張係数(HEITMAN and KELP<sup>26</sup>)

2<sup>21</sup>)には8%Cr-Fe合金についての被膜中の成分分配を示した。一方、水蒸気中においては、図3<sup>15</sup>)に示したように内層中でのCrの濃縮はおこらないが、Mnはやはり外層に集まっている。これらの現象はFeの拡散速度とそれらの元素の拡散のそれとの相互比較により説明されている<sup>15</sup>)。

腐食速度はこれら被膜中の反応種の拡散速度により支配されるので、図4<sup>15</sup>)に示すように時間の経過とともに

放物線状または対数状に減少するが、Fe₃O₄の溶解度と密接に関連している。Fe₃O₄は環境の酸化性の弱い時はFe²⁺が増してn形半導体となり安定であるが、酸化性が強くなるとFe³⁺が増しp形半導体となつて正孔濃度が大きくなるために溶出しやすくなる。Fe₃O₄の溶解度はまた図5<sup>22</sup>)に示したようにpHによって変化し、溶解度が10⁻⁶mol以下のpH範囲は5~8である。しかしpH=7~10の範囲で溶解度は3×10⁻⁷molであるという報告<sup>23</sup>)もある。Fe₃O₄の密着性は熱的あるいは機械的応力によつても損われることがある<sup>24)25</sup>)。応力の原因としてはSchikorr反応による発生水素あるいは下地との間の熱膨張のちがい(図6<sup>26</sup>)などが考えられるが、一般にボイラなどでは運転開始と休止のサイクルによつて腐食が促進されること認められている<sup>25</sup>)。Fe₃O₄層に9.5kg/mm²以上の圧縮応力または3.6kg/mm²以上の引張応力がかかると割れを生ずるといわれるが<sup>26</sup>)、Fe₃O₄層の機械的強さの影響について論じた報告も出ている<sup>27</sup>)。

腐食生成物は上記被膜を形成する部分と水中へ放出される部分とにわかれる。その両者の割合はpHなどの水の条件と鋼成分とにより異なるが、ステンレス鋼でも腐食量の約半分に近い量が水中に放出される。水中に放出された腐食生成物はクラッドとよばれている。クラッドは懸濁物質として水に混在して運ばれるが、そのうちの一部が循環系の鋼の壁面に付着して沈析クラッドとなる。

ステンレス鋼では腐食被膜が薄いので、外層は専ら沈析クラッドよりなつている。鋼の場合でも表面に付着している腐食生成物被膜のうち約半分は沈析クラッドであることがFe-54を用いた実験により認められていて、このようなもらいさびは多孔性で針状の外観を呈している<sup>28</sup>)。クラッドは熱伝達面につきやすいので熱交換の能率を悪くするほか、原子炉では誘導放射能の問題をおこ

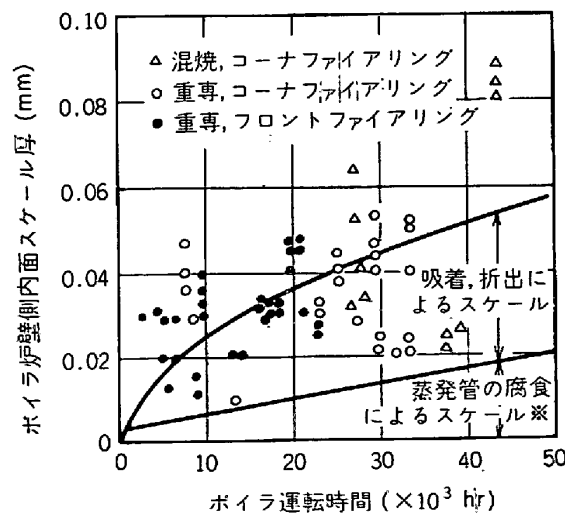


図7 ボイラ蒸発管の炉壁側における内面スケール生成速度(宮川ほか<sup>29</sup>)

表2 ハルデン炉(HBWR)の各所において軟鋼試験片の腐食量と放出量(VIEDEMほか<sup>28)</sup>)

試験箇所	試験時間(h)	腐食量(mg/dm <sup>2</sup> )(w)	放出酸化物量(mg/dm <sup>2</sup> )	放出率(%)	腐食曲線(t:時間)
圧力容器 液相	13 400	106 360	36 72	25 15	$w = t^{0.2}$ 直線
サブクーラー入口 気相 (230°C)	16 600	2 900	1 528	38	"
サブクーラー出口 (80°C)	11 000	3 100	1 380	32	"
蒸気トランスフォーマ	50 000	210~570	50~200	15~25	"

表3 ハルデン炉中で試験した軟鋼試験片の腐食量と放出酸化物量に及ぼす前処理の影響(VIEDEMほか<sup>28)</sup>)

試験箇所	試験前処理	腐食量(mg/dm <sup>2</sup> )	放出酸化物量(mg/dm <sup>2</sup> )	放出率(%)	前処理による腐食量の減少率(%)
圧力容器 液相	脱気水 <sup>1)</sup> 含酸素水 <sup>2)</sup>	103 40	20 2.5	14 5	2 62
	気相 脱気水 含酸素水	190 90	40 1.0	15 8	48 75
サブクーラー入口	脱気水 含酸素水	1 265 560	490 315	27 40	56 80
サブクーラー出口	脱気水 含酸素水	440 440	182 245	30 40	86 86

1) 脱気水 230°C 中で 3 日間加熱、黒色 Fe<sub>3</sub>O<sub>4</sub> 被膜付着(腐食量 45mg/dm<sup>2</sup>、放出量 20mg/dm<sup>2</sup>)2) 400ppm 酸素水、230°C 中で 3 日間加熱、青色汗渋色被膜付着(腐食量 5 mg/dm<sup>2</sup>、放出量 3 mg/dm<sup>2</sup>)表4 ヤンキー炉のクラッドの成分(%) (PICONEほか<sup>29)</sup>)

元素	循環クラッド	燃料面沈析クラッド	348ステンレス鋼酸化物	348ステンレス鋼(規格値)
Fe	43~48	51~68	49.3	
Ni	7.1~7.2	6.5~9.9	7.9	9~13
Cr	1.2~1.6	0.43~0.88	12.9	17~19
Co	0.042~0.054	0.087~0.357	0.06	<0.20
Mn	0.21~0.33	<0.16~0.51	1.4	<2.00
Nb	—	0.017~0.031	—	(Nb+Ta)>10×C, Ta<0.10
Ag	0.033~0.042	0.0028	—	—
In	0.042~0.046	~0.1	—	—
Cd	<0.02	0.01~0.2	—	—
B	0.007	0.001~0.005	—	—

すので、できるだけ少なくしたい。図7<sup>29)</sup>は 37 缶余のボイラについての結果で、蒸発管に付着したスケールのうち約 70% は沈析クラッドであることを示している。

ハルデンの原子炉で軟鋼を試験した結果によると、240°C の中性水中で腐食生成物の約 25% が放出されたと報告されており(表2<sup>28)</sup>)、これはGEの報告<sup>30)</sup>よりは多いがノルウェーの報告<sup>31)</sup>とは同程度である。このちがいは温度上昇の条件によるもので、溶存酸素があつて急加熱した時は腐食も放出も少なくなるといわれており<sup>28)35)</sup>加熱条件が腐食に及ぼす影響の著しいことは著者らもかねてから注目しているところである。なお、溶存酸素のある水中であらかじめ処理すると放出を十分の一にもできることが報告されている(表3<sup>28)</sup>)、沈析は熱伝達面における蒸気泡の発生状況が影響するので、酸化物被膜の

付き方によつて沈析量はちがつてくる<sup>33)</sup>。沈析物はボイラ用水に 0.3 g/kg の EDTA を添加し 200°C で 5h の処理をすれば除去できるとのボイラ操業の報告がある<sup>33)</sup>。

ステンレス鋼を接水部に用いた原子炉における沈析クラッドの成分は原子炉により多少異なつてゐる。Yankee炉(PWR)における循環および燃料面に沈析したクラッドの成分は表4<sup>33)</sup>に示したようであり、いずれも鋼成分にくらべて Cr と Mn の低いのが特に目立つが、被膜ではクラッド中よりも Cr 濃度が高くなつてゐる。しかし同じ炉形式でも Saxton 炉においてはクラッドの成分は下地鋼と同じで、また被膜中の Cr 濃縮も Yankee 炉の場合よりすくない。一方、Dresden 炉(BWR)では沈析クラッド中の Fe と Ni の量は循環クラッド中のそ

れより低いと報告されている<sup>18)</sup>。

#### 4. 腐食に及ぼす環境側因子

##### 4.1 溶存酸素の影響

室温の中性水中での鉄鋼の腐食は溶存酸素の増加により著しく加速されるが、酸素量が一定量をこすと不動態化によりかえつて腐食が減少しあらわることはよく知られている。酸素による腐食増加は酸素がカソードおよびアノード分極とともに減少させるからであつて、同様な結果は高温水中においても考えられる。しかし、すでに述べたように高温水中では被膜形成過程が腐食速度に大きな影響を及ぼすので、溶存酸素の影響も被膜のでき方のちがいに特に着目する必要がある。

高温水中の鉄鋼の腐食に及ぼす溶存酸素の影響についての過去の報告のうち 1970 年以前のものでは、酸素量の範囲が腐食抑制作用をするには不足な場合には腐食は酸素量の増加とともにいつたん増加するが、酸素量がある値をこすと室温の場合と同様に腐食抑制作用があらわれて腐食は極大値を経て減少するという報告が多かつた<sup>34)</sup>。しかし、腐食が極大を示す酸素量は室温の場合約 20ppm が定説とされていたのに対し、230~300°C の水中では 40~100ppm 程度と室温の時より高く、また報告により著しく違つてゐる。一方、酸素量の増加とともに腐食量は単純に低下するとの結果も少數ではあるが過去に報告されていた<sup>35)~37)</sup>。ところが 1970 年以降には酸素は少量でも腐食抑制効果があるとの報告が多く見られるようになつてきた。<sup>28)36)39)44)</sup>。以前の報告を原文についてよくしらべてみると、1ppm 以下の酸素量についての検討が十分でなかつたようで、数 10 ppb の溶存酸素が腐食を抑制するという新しい知見は古い報告と必ずしも矛盾するものではないと思われる。そして、この場合にも酸素量が増して数 ppm になると腐食が増加するようになるが、さらに量がますと再び腐食が抑制されることは以前の報告と定性的に同じである。以上の結果をまとめてみて、最も正しいと思われる溶存酸素の影響の代表的例は古い報告ではあるが図 8 のようである<sup>37)</sup>。

溶存酸素は  $\text{Fe}^{2+}$  を酸化して  $\text{Fe}_3\text{O}_4$  の保護被膜の形成を促進するが<sup>39)45)</sup>、一方さらに酸化程度の大きい  $\text{Fe}_2\text{O}_3$  もできるようになる。 $\text{Fe}_3\text{O}_4$  は容易に  $\gamma\text{-Fe}_2\text{O}_3$  になるが、250°C 以上では  $\alpha\text{-Fe}_2\text{O}_3$  に変化する<sup>46)</sup>ので、生成被膜は  $\text{Fe}_3\text{O}_4$  の上に  $\alpha\text{-Fe}_2\text{O}_3$  が認められている<sup>38)47)</sup>。 $\text{Fe}_2\text{O}_3$  は  $\text{Fe}_3\text{O}_4$  の欠陥を補つて耐食性をよくするといわれている<sup>40)</sup>。いずれにしても被膜が成長するとともに腐食速度は減少するので、あらかじめ良い保護被膜をつくつておくと有効であることは既掲の表 2 と表 3 を比較してみればわかるが、はじめの形成被膜がそのまま 1 万時間以上も効果をもつことを図 9 に示した<sup>28)</sup>。

溶存酸素が有効に作用するのは動水の場合で、静水中

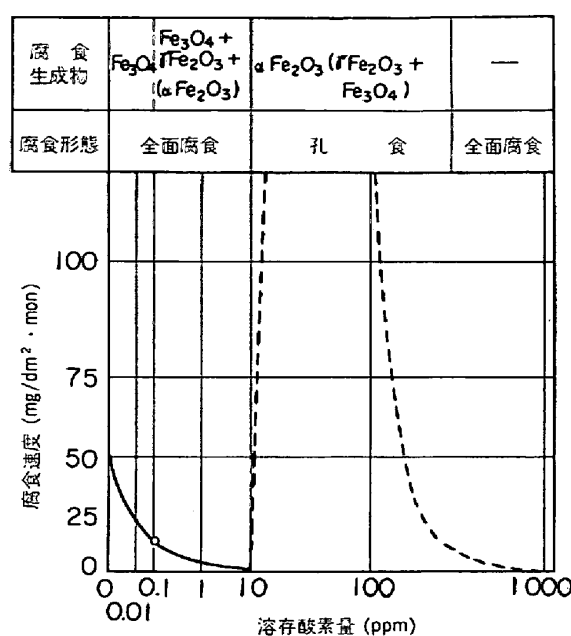


図 8 230~315°C の中性水中の軟鋼の腐食に及ぼす溶存酸素量の影響 (VIEDEM<sup>37)</sup>)

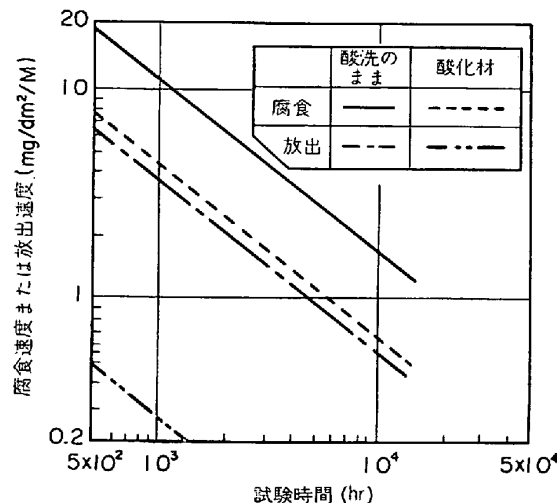


図 9 ハルデン炉の圧力容器内での軟鋼の腐食速度および酸化物放出速度に及ぼす前処理 (230°C, 溶存酸素 400ppm の水中で 3 日間加熱して酸化したもの) 影響 (VIEDEM ほか<sup>28)</sup>)

では効果がやや少なくなるとされているが<sup>38)</sup>、さらに孔食のおそれも静水のときに生じる<sup>36)41)</sup>。また溶存酸素は水純度が低いときにも<sup>42)</sup>、温度が 100°C 以下のときにもむしろ孔食の原因となる<sup>28)</sup>。図 10 は溶存酸素 0.2ppm のハルデン炉でのデータであるが、温度が 100°C 以上になると酸素の効果があらわれて急激に水中の鉄量が減少している<sup>28)</sup>。

溶存酸素による腐食抑制作用をはじめて実用に供したのはハンブルグ電力の FREIR であつた<sup>43)</sup>。彼は 181atm 125MW のベンソンボイラで 1969 年の 7 月より 8 月にわたつて中性の給水に約 50 ppb の酸素を注入して、水中の鉄量が著しく減少することを図 11 のように実証し

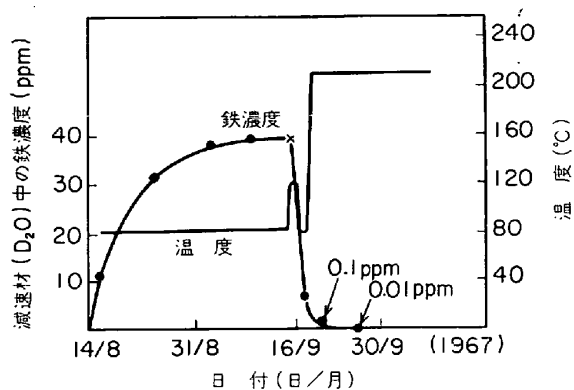


図10 ハルデン炉の減速材(重水、溶存酸素 0.2 ppm)中の鉄濃度と温度との関係(VIEDEMほか<sup>28)</sup>)

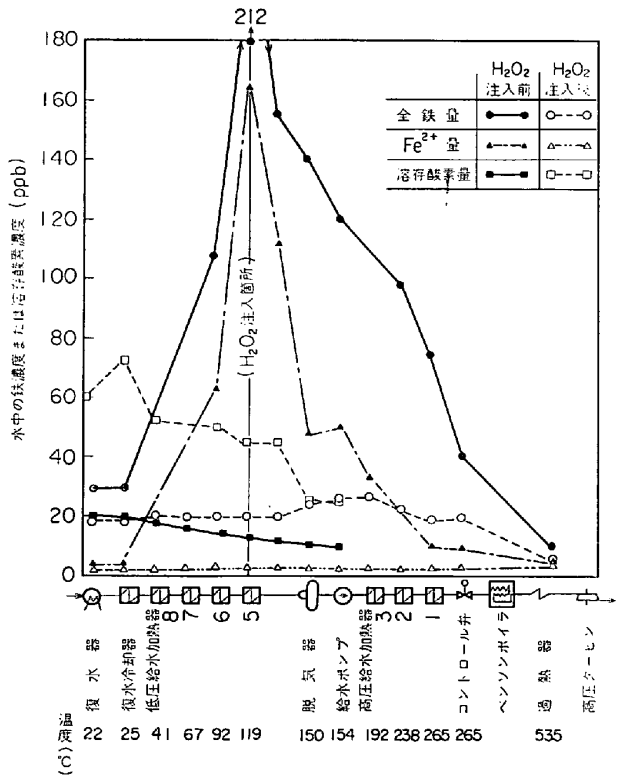


図11 ベンソンボイラにおけるH₂O₂注入によるクラッドの減少(ハンブルグ電力会社ヴェーデル発電所1号機、実効出力 125MW 1968年10月22日～11月11日の運転実例と1969年7月～8月のH₂O₂により酸素50 ppb注入の運転結果との比較を示す)(FREIER<sup>44)</sup>)

た<sup>44)</sup>。酸素の注入は30%の過酸化水素665 mlを100 lの水で稀釀したものを用い、電位を0.3~0.4Vに12 000 h保つことによって水中の鉄量を20ppb以下にすることができた<sup>42)</sup>。このような状態は前掲図1の腐食図では×点で示され、不動態域に入っているが、FREIERは電位が0.4V以上になると $\text{Fe}_3\text{O}_4\text{-Fe(OH)}_3$ の変化で腐食がおこるとしている<sup>42)</sup>。この考えに対してこの場合の腐食は水に $\text{Cl}^-$ が混入しているかまたは緩衝作用の不足によっておこる孔食であつて、このような原因

がなければ電位は0.4V以上になつても差支えないのではないかとの批判もある<sup>48)</sup>。なお図1には普通に行なわれている脱酸素アルカリ処理水中の電位がY点で示されている。

なお米国においてU.S.スティールのVREELANDらが少量の溶存酸素は腐食を抑制するとの報告を1961年から65年にわたって出しているのを受けて<sup>30)35)49)</sup>、GEでは1965年から中間試験が行なわれ、フンボルトベイの炉の試験をも含めて詳しい報告が1972年までに出ている<sup>38)</sup>。これによると溶存酸素は図12<sup>38)50)</sup>に示すように腐食速度も生成物の放出速度をも顕著に減らす効果があり、炉中においても同様である。また水流速は酸素のすくないときには腐食も放出も増すが、酸素がある程度ある時は流速のある方が不動態化しやすい<sup>38)</sup>。なお炉中では水の放

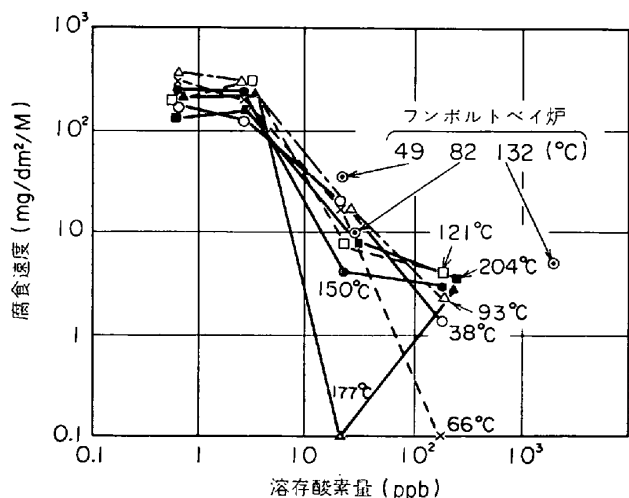


図12(a) 流速1.8m/secの中性水中の軟鋼の腐食速度に及ぼす溶存酸素量の影響  
(溶存酸素3ppbのときには100~200ppbの、また20ppbのときにはその1/8の水素を添加した、図12(b)においても同じ)  
(BRUSHほか<sup>50)</sup>のデータより作図した)

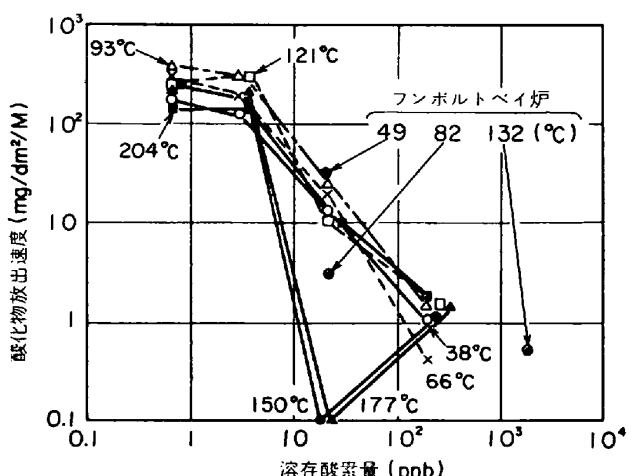


図12(b) 流速1.8m/secの中性水中の軟鋼の酸化物放出速度に及ぼす溶存酸素量の影響  
(BRUSHほか<sup>38)</sup>のデータより作図した)

表5 軟鋼の腐食に及ぼす溶存水素の影響(BRUSHほか<sup>38)</sup>)

溶存酸素量(ppb)	200		200	
	溶存水素量(ppb)	0	25	
(mg/dm <sup>2</sup> /mo) °C	腐食速度	酸化物放出速度	腐食速度	酸化物放出速度
38	0.9	<0.1	1.2	1.0
66	1.6	<0.1	<0.1	0.4
93	2.0	0.6	2.2	1.4
121	1.1	0.2	4.3	1.4
150	<0.1	<0.1	3.3	1.2
177	0.6	<0.1	2.9	1.5
204	0.9	0.1	3.8	1.8

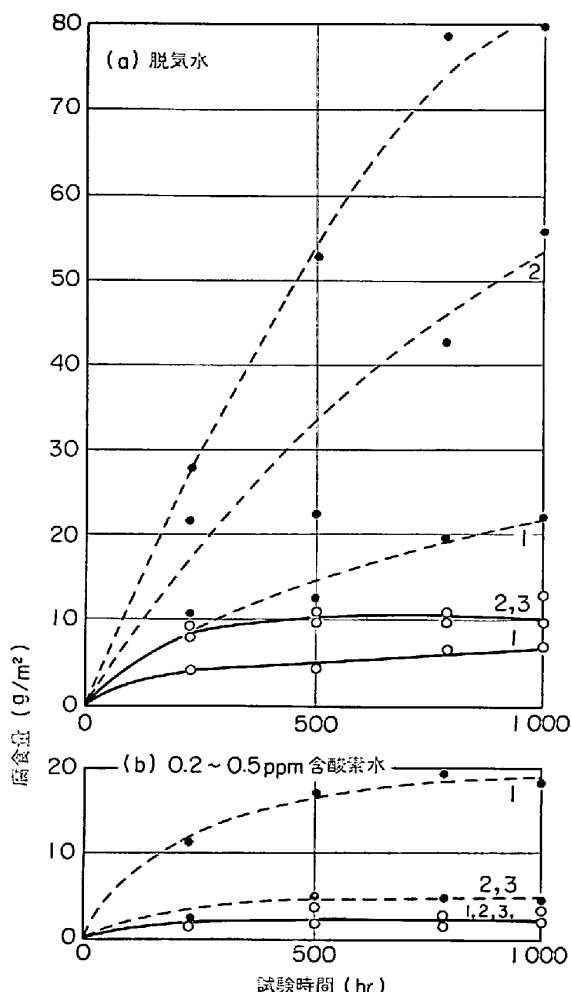


図13 280°C, 100 atm の中性水中での軟鋼およびステンレス鋼の腐食速度(破線:軟鋼, 実線:SUS 321, 1: 静水, 2: 水流速 3m/sec, 3: 水流速 8m/sec) (NESMEYANCA<sup>41)</sup>)

射線分解のために酸素と当量の水素が共存することになるが、水素の影響は表5<sup>38)</sup>に示すようにごくすくない。

ソ連においても NESMEYANCA らが 30ppb 以上の酸素が腐食抑制作用をすることを報告している<sup>36)41)</sup>。図13<sup>41)</sup>は酸素を 200~500 ppb 含む水中の腐食速度を示してお

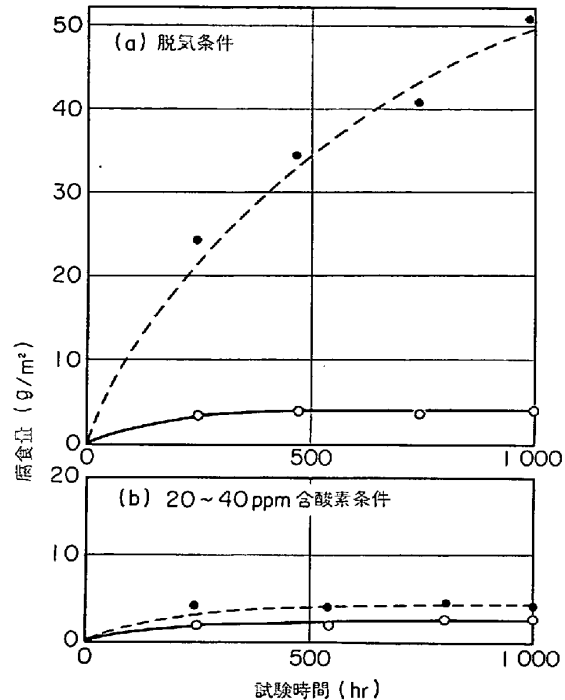


図14 280°C, 72 atm, pH 8.2, 流速 10m/sec, 気水比 0.2 の条件の気水混合体中の軟鋼およびステンレス鋼の腐食速度(破線:軟鋼, 実線:SUS 321) (NESMEYANCA<sup>41)</sup>)

り、軟鋼は脱気水中では水流速とともに腐食が増すが、含酸素水中では静水の方が腐食が多いことがわかる。図14は気水混合流体中の場合であり、図15は飽和蒸気中の場合であるが、液相が減少するに従つて酸素の影響は小さくなる<sup>41)</sup>。ステンレス鋼の場合の酸素の効果については前掲図13~15にも示されているように軟鋼の場合よりはるかにすくない<sup>38)41)</sup>。

わが国においても BWR の復水給水系の腐食をへらすために、溶存酸素を添加することは試みられているがそれらのうち中国電力(株)の島根発電所での報告<sup>51)</sup>によると、同所の炉の復水給水系中の鉄量は図16に示すようで、復水フィルタでクラッドが炉過されると 10 ppb 程度まで減るが、その後の給水系の腐食により再び増加している。しかし、これに酸素を H<sub>2</sub>O<sub>2</sub>により注入する

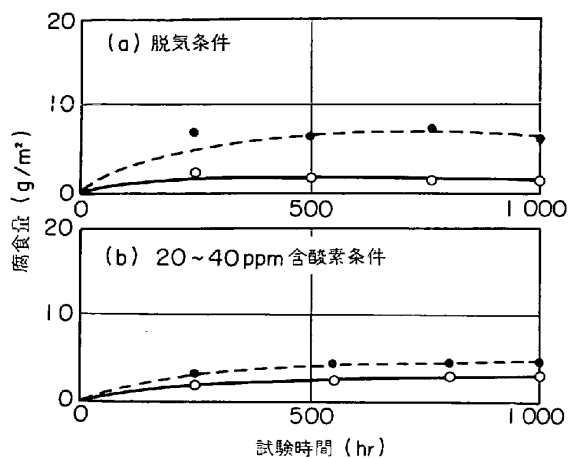


図15 280°C, 72atm, 流速 20m/sec の飽和蒸気中の軟鋼およびステンレス鋼の腐食速度(破線: 軟鋼, 実線: SUS 321)  
(NESMEYANCV<sup>41)</sup>)

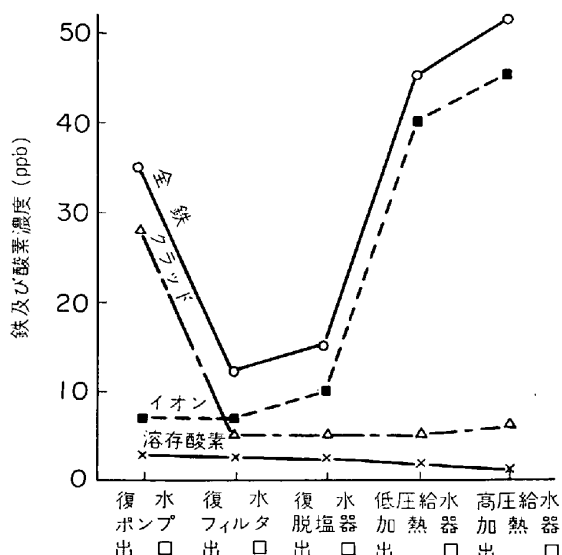


図16 酸素注入前の島根発電所の復水給水系水中の鉄量および溶存酸素量(松島ほか<sup>51)</sup>)

と 30 h 後には図 17 のように水中の鉄は減少している。また図 18 には経時変化を示しているが、約 30 ppb の酸素によって水中の鉄量は約 1/10 に低下し、酸素を 10 ppb までさげても抑制効果は維持されることを示している。なお鉄量の低下とともに電導度も低下していることは水中での鉄の存在形態を推定するうえから興味深い。

西独においてこれまでの実績をもとに VG B (発電事業技術協会) は中性ボイラ水の処理基準<sup>52)</sup>を表 6 のように定めた。この場合、酸素は 20~200 ppb の範囲で適用できるが、給水タンク以後の温度 240°C 以下の範囲では 10~50 ppb が望ましいとしている。しかし FREIER は 150°C 以下では 25 ppb 以下にしなければならないとしている<sup>53)</sup>。また水の純度を高く保つことが必要なこと

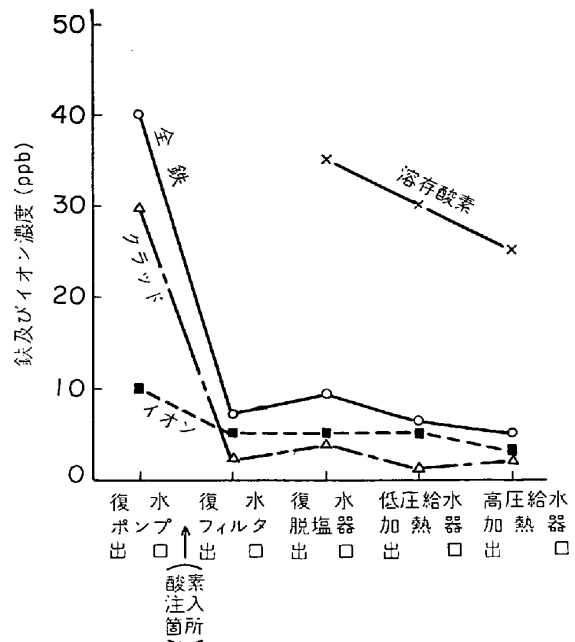


図17 図 16 に酸素注入開始 30 時間後の状態(松島ほか<sup>51)</sup>)

も強調されていて、比電導度が 0.1~0.2  $\mu\text{S}/\text{cm}$  が必要で、 $1 \mu\text{S}/\text{cm}$  以上になると酸素の抑制効果がなくなるという報告<sup>54)</sup>もある(図 19)。また特に  $\text{Cl}^-$  は問題で 0.1  $\mu\text{g/l}$  以上ではよい被膜ができるといわれている<sup>43)</sup>。

なお含酸素中性水を使う場合には溶存酸素計、電導度計、塩素イオン計および電位計などにより十分な監視を行なうとともに次のような問題点を十分解決しておかねばならない。

(1) 低温における腐食対策をたてること: 酸素の適量が温度によって変化することが考えられ、また 100~150°C 以下では酸素は抑制作用を示さないともいわれている<sup>28)55)</sup>。

(2) 水の純度を高く保持すること: とくに復水器の漏洩の検出とその対策が必要であろう。

(3) 銅合金に及ぼす酸素の影響を検討すること: 酸素の悪影響はすぐないとされているが<sup>38)</sup>、0.3V 以上の電位になると  $\text{Cu}_2\text{O}$  が  $\text{CuO}$  に酸化されて溶解度が増すので問題となるかもしれない<sup>43)</sup>。

(4) ステンレス鋼に及ぼす酸素の影響を検討すること: ステンレス鋼には僅かではあるがむしろよい影響があるとされている。しかし 0.5V 以上の電位では Cr の溶出がおこるかもしれない。

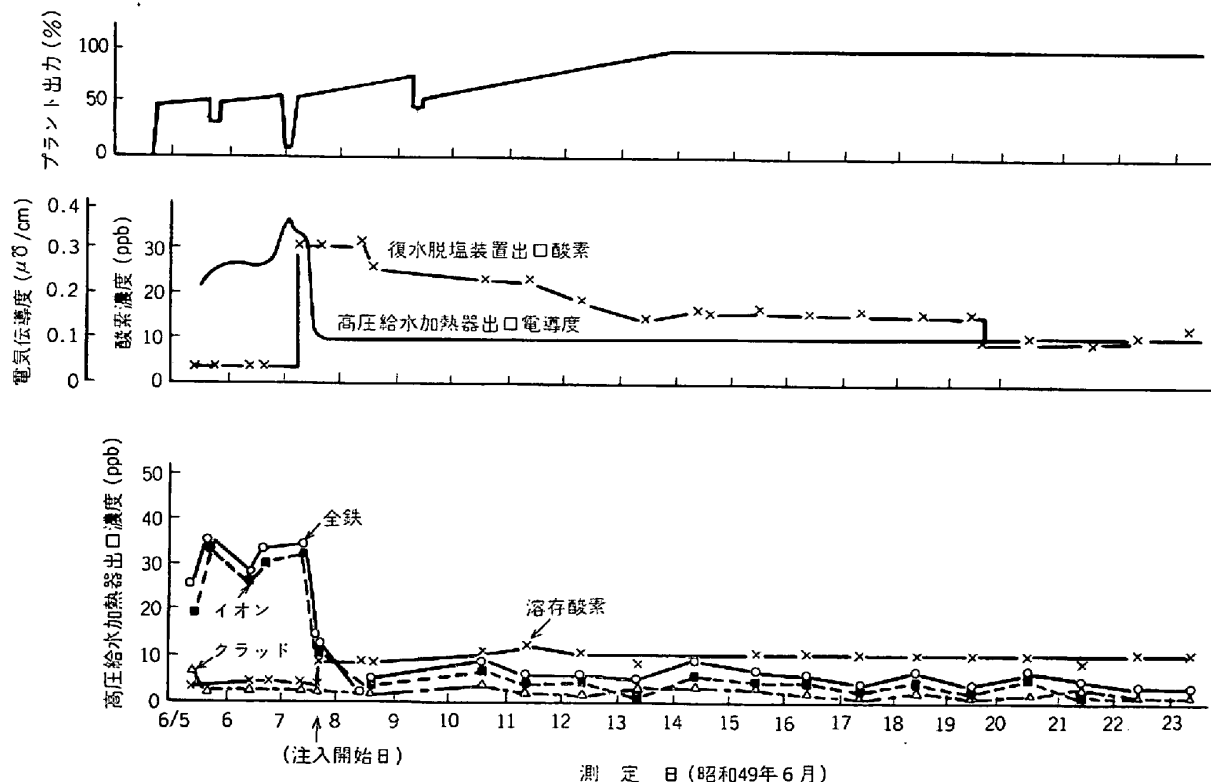
(5) ステンレス鋼の応力腐食割れ対策を考慮すること: 50 ppb 程度の溶存酸素量でのデータはないが、従来のデータを外挿すると必ずしも安心できない。

#### 4.2 pH の影響

高温水中での鋼の腐食防止は  $\text{Fe}_3\text{O}_4$  の良い被膜をつくることにあり、そのためには pH をあげて  $\text{Fe}(\text{OH})_2$  の溶解度を減らすことが考えられる。前掲図 1 の 300°C

表6 ボイラ給水に対するVGB基準値概略(1972年4月)<sup>52)</sup>

	貫流ボイラ	循環ボイラ	
		64 atm	80 atm 以上
電導度( $25^{\circ}\text{C}$ , $\mu\Omega/\text{cm}$ )	<0.2	ボイラ水に対する標準を考慮する 中性水運転の場合: <0.15	
pH ( $25^{\circ}\text{C}$ )	>9 (揮発性アルカリ処理)	>9	>9 (できるだけ揮発性アルカリ処理とする) 中性水運転の場合: 6.5~7.5
溶存酸素 (mg/kg)	<0.020	<0.020 中性水運転の場合: <0.050	
全鉄量 (mg/kg) 全銅量 (mg/kg)	<0.020 <0.003	<0.030 <0.005	<0.020 <0.003

図18 島根発電所における酸素注入による給水中鉄量の低減試験結果(松島ほか<sup>51)</sup>)

の腐食図でも pH を中性値(5.8)からあげていくに従つて、不動態域は急激に増加して、pH 7.5 以上であればほとんどすべての鋼の電位は不動態域に入ることが示されている。また鋼の高温水中での腐食速度が pH 上昇に従つて減少して、pH 10~11(室温値)位で極小になるとの研究報告もいくつかあり、ボイラ水の pH 調節を行なえば故障率が下ることは統計でも示されている。しかし pH を上げても影響はないとか、むしろ悪影響があるとの報告も少なくはない<sup>34)</sup>。ステンレス鋼の場合には pH 9 程度まであげると腐食が減るとの報告がほとんどであ

るが、もともとステンレス鋼では全面腐食の速度が低いので、その差はごくすくない<sup>56)</sup>。 $\text{Fe}_3\text{O}_4$  の溶解度からいえば中性付近が極小を示すので(図 5)、中性水を用い、 $\text{Fe}_3\text{O}_4$  の安定を溶存酸素によって保つという考え方もあり立つわけで、これについては前項で詳しく述べた。

一方、pH が 5 以下の酸性になると被膜の外層は保護性を失い、また内層も付着性が悪くなつて腐食は急増するようになる<sup>57)58)</sup>。pH 低下は復水器漏洩によりおこることが知られているが、漏洩による  $\text{Cl}^-$  の増加がないのに pH が低下する事例が報告されている<sup>69)</sup>。この場合

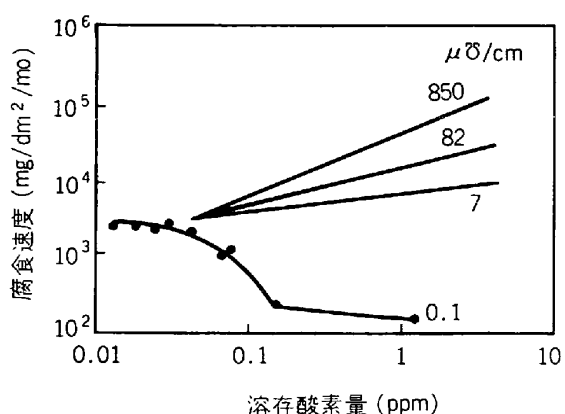


図19 酸素の腐食抑制効果に及ぼす電導度の影響  
(75°C, 24hr, 1.6m/sec) (RESCH<sup>54)</sup>)

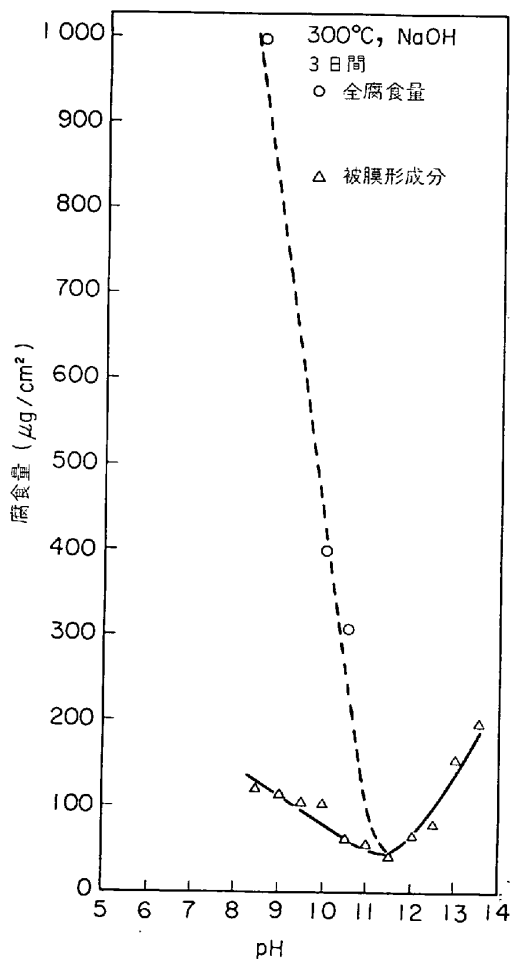


図20 純鉄の高温水中での腐食に及ぼすpHの影響  
(HUIJBREGTS<sup>27)</sup>)

復水の電導度および COD が 10 倍にも急増することが見られている。この原因はフミン酸類あるいはプランクトン類などの有機物によると推定されていて<sup>60</sup>、アルカリの注入量およびブロー量の増加が対策としてとられているが十分でないので、原水の電解清浄化が提案されている<sup>61</sup>。

pH を上げることはまた腐食生成物の水中への放出に

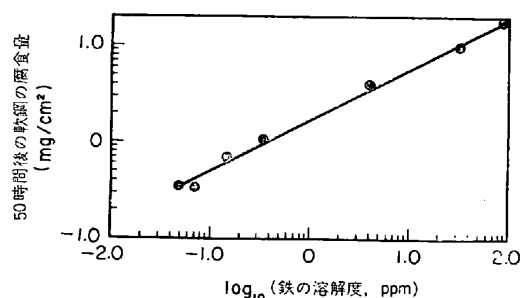


図21 NaOH 溶液(0~40%)中の鉄の溶解度と軟鋼の腐食との相関 (MASTERTON ほか<sup>64</sup>)

関係がある。腐食生成物の約 50% が水中に放出されることは前述したが、その割合は時間とともに増加する。pH を上げると放出量が減少することはすべての研究報告の認めているところで、図 20<sup>27</sup> に純鉄についての一例を示したが、ステンレス鋼についても同様である。

pH 調節に固体添加物を用いると、伝熱面における沸騰によつてアルカリの濃縮がおこる。特に伝熱面が腐食やクラッド付着によつて汚れているときははなはだしい。また鉄と水との反応によつて  $\text{Fe}_3\text{O}_4$  が形成されるため、拡散のおこりにくい沈析物の小孔内などではアルカリ濃縮がおこる。 $\text{Fe}_3\text{O}_4$  は電子電導体でカソード反応を促進するので、その割目の鉄面には孔食が発生するおそれがある<sup>11</sup>。苛性アルカリの濃度が 5 mol 以下では腐食速度は放物線則に従うが<sup>61, 62</sup>、その速度定数はアルカリ濃度と比例関係にあり<sup>55</sup>。律速は被膜内層の小孔内の鉄の拡散であるといわれている<sup>4, 63</sup>。 $\text{Fe}_3\text{O}_4$  の溶解度がアルカリ濃度とともに増加することも腐食促進の一原因であるが、アルカリ中での鉄の溶解度の増加<sup>4</sup>も腐食速度と関連していることは図 21<sup>64</sup>に示したようで、300 °C の 7.5 mol NaOH 中では軟鋼の侵食度は 9 mm/y にもなる<sup>58</sup>。

カセイアルカリの腐食性は Cs, Rb, K, Na, Li とイオン半径が小さくなる順に小さくなることが報告されている<sup>65</sup>。これはイオン半径が Fe に近いものは  $\text{Fe}_3\text{O}_4$  中の Fe と置換して拡散を減らし腐食を抑制するからで、アルカリ金属の水酸化物水溶液中の Fe の溶解度をみると図 22 のように濃度 0.5 mol 以下では LiOH 溶液中で最も大きく、NaOH, KOH の順に減少し、腐食性の順とは逆である。また LiOH は溶解度が低いので、Fe の溶解度は 3 g 以上にならない<sup>64</sup>。しかし LiOH の濃度が 0.5 mol 以上になるとリジウムフェライトが生成して Fe の腐食が多くなるという現象があるが<sup>66</sup>このために Li が消費されて伝熱面での濃縮がおこりにくいという特長がある<sup>11</sup>。現在では、伝熱面での濃縮によるアルカリ腐食をさけるために緩衝作用のある磷酸塩処理が広く採用されているが、濃縮にともなうハイドアウト現象がおこることが欠点である。また磷酸塩濃縮のためと考えられるインコネル 600 製熱交換管の局部減肉現象

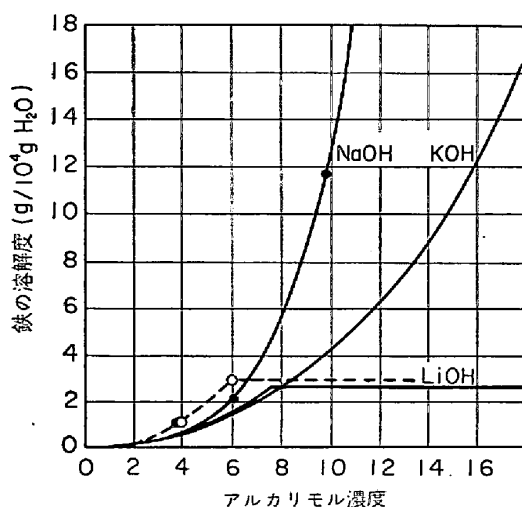


図22 300°C アルカリ溶液中の鉄の溶解度  
(MASTERTONほか<sup>64)</sup>)

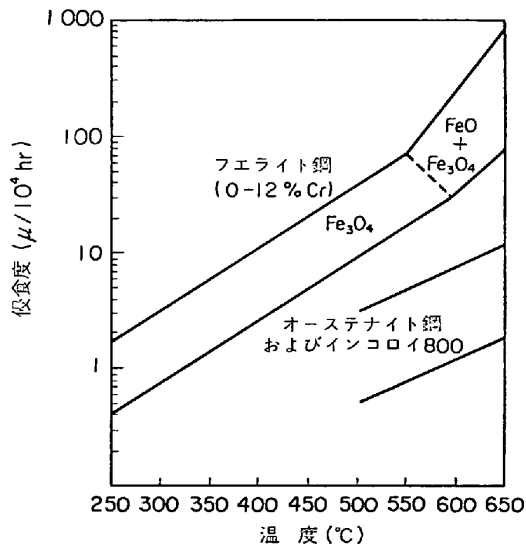


図23 純水または水蒸気中の鋼の腐食(10<sup>4</sup>hr)  
(GARNSEYほか<sup>67)</sup>)

が加圧水形原子炉の蒸気発生器で問題となつてゐるが、これについては本稿ではふれることにする。このような現象をさけるために揮発性薬品処理としてヒドラジンとアンモニアが使われることが多くなつてきている。この場合には濃縮の心配はないが、アンモニアによる銅合金の腐食が問題となり、また復水器の厳重な漏洩防止あるいは低温での防食対策などが必要となる。

#### 4.3 温度の影響

鋼の高温水中の腐食速度に及ぼす温度の影響についての報告は多くない。図23ではCr量12%までのフェライト鋼はすべて温度とともに腐食速度は単純に増加するとしているが<sup>67)</sup>、一方230~315°Cの温度範囲では腐食速度定数は変わらないという報告<sup>28)</sup>もある。いづれも約250°C以下の範囲については検討されていない。しかし前掲図12<sup>50)</sup>のデータを温度を横軸にとつて書き直

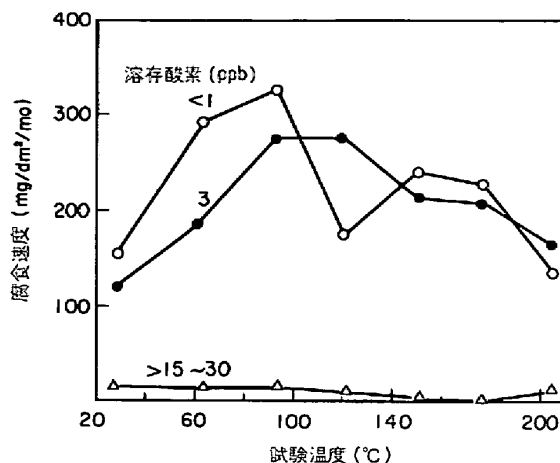


図24(a) 中性水中の軟鋼の腐食速度に及ぼす温度の影響(図12のデータより作図した)

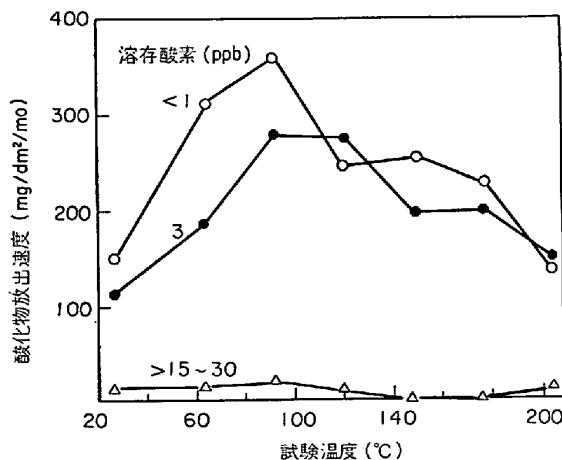


図24(b) 中性水中の軟鋼の酸化物放出速度に及ぼす温度の影響(図12のデータより作図)

すと図24のようになつて、溶存酸素の少ない時の軟鋼の腐食速度も酸化物放出速度も約100~110°Cで極大となることがわかる。ただし、溶存酸素が多くなると温度の影響は明らかでなくなる<sup>50)</sup>。

ステンレス鋼の場合にも腐食速度の拡大を示す温度のあることが知られている。しかし極大となる温度は報告によって図25<sup>68)~70)</sup>に示したようにちがいがある。これらはすべて溶存酸素が100ppb以下の場合であるが、溶存酸素が数ppm以上あると腐食速度は温度とともに単調に増すだけとなる<sup>68)</sup>。また同図に示してあるように水蒸気の場合には極大を示さないで温度とともに腐食速度が増加するが、600~650°Cで急増することは前掲図23におおむね示されてあり、また他に詳しい報告もでている<sup>97)98)</sup>。

#### 4.4 热流束の影響

伝熱面の腐食速度は等温の水中の場合よりはるかに高くなり、750kW/m<sup>2</sup>の热流束では腐食速度は倍になるといわれる<sup>30)</sup>。热流束のある場合には表面の蒸気泡あるいは境界層の存在によつて金属の表面温度が上昇するほ

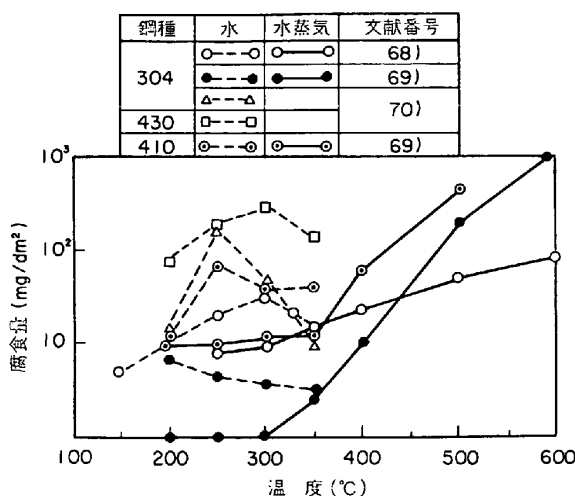


図25 ステンレス鋼の水または水蒸気中腐食に及ぼす温度の影響 (1 000hr試験) (前川<sup>68)</sup>, WAZEE<sup>69)</sup>, 伊藤<sup>70)</sup>のデータを総合して作図した)

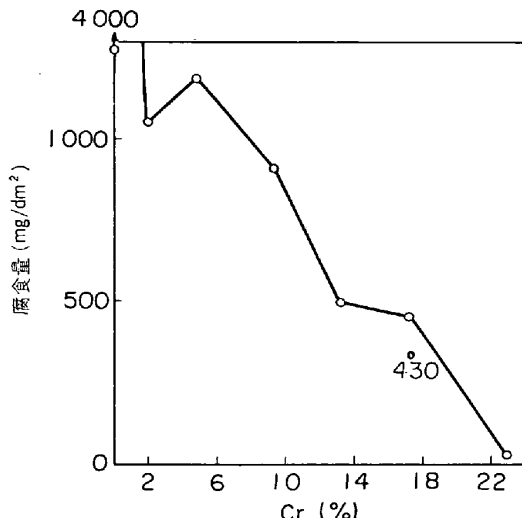


図27 350°C, 12m/sec の流水中の鋼の腐食に及ぼす Cr% の影響 (800hr) (伊藤ほか<sup>79)</sup>)

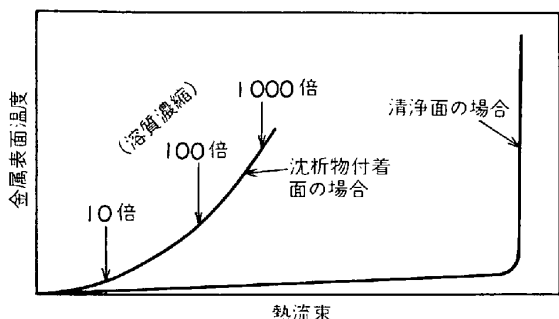


図26 伝熱面における沈析物が金属面温度および溶質濃縮に及ぼす影響(概念図)  
(MASTERSON ほか<sup>64)</sup>)

か、温度差電池の生成や熱応力による被膜の剥離なども関係するが<sup>30)</sup>、最も大きな原因は伝熱面における水中溶質成分の濃縮である。

核沸騰で蒸気泡が発生すると、新しく蒸気がその泡のなかに入りこむためにはその圧力に平衡する温度よりも高温にならねばならないでそこに過熱がおこる。その過熱状態で鉄の酸化と蒸発がおこるので、水が消費されて溶質は濃縮する。核沸騰だけであればバーンアウト点までは対流のために精々数倍程度の濃縮がおこるだけであるが<sup>71)</sup>、もし熱伝達面がスケールなどで汚れていると乾湿くり返しがおこつて濃縮は著しく増加する<sup>64)</sup>。濃縮係数は熱流束とスケール厚さが増加するとともに増加する<sup>72)</sup>。スケールの主体がクラッドであることは前掲図7に示したが、スケール付着量は熱流束の1.3乗<sup>73)</sup>から2乗<sup>74)</sup>に比例するといわれているが、ある場合には5乗に比例することさえある<sup>29)74)</sup>。またクラッドの成分<sup>75)</sup>、流速および気水比<sup>76)</sup>などによつても影響される。非沸騰面でもクラッド付着は熱流束が駆動力になる<sup>77)</sup>。

伝熱面は熱流束の増加とともに温度が高くなるが、スケールがつくと熱伝達が妨げられて、熱流束の低い値の

場合でも図26に概念的に示したように温度が急上昇することがある<sup>64)</sup>。温度が上昇するとともにスケール中の水が乾湿のくり返しで溶質の濃縮がおこる。給水の電導度が10μΩ/mだとすると10<sup>-7</sup> mol程度の溶質を含むことになるが、これがドラムボイラの伝熱面で濃縮されると10<sup>-1</sup> molくらいになることは容易におこる<sup>64)</sup>。そこで腐食をさけるために許容しうるアルカリ濃度は熱流束の大きいほど、また高圧になるほど低くなくてはならない<sup>78)</sup>。アンモニアのような揮発性薬品を使ったときにはむしろ蒸気相に多く分配されるので濃縮の心配はない。

## 5. 腐食速度に及ぼす金属側因子

### 5・1 高温水の場合

鋼の高温水中の耐食性向上に決定的効果のあるものはCrである。鋼にCrを添加すると5%以下でも全面腐食速度は数分の一に急減するが、孔食がおこるようになり、5~6%で孔食感受性は最大になる。さらにCr量を増すと全面腐食も孔食も著しく改善されて、10%以上では孔食は見られなくなり、25%程度まではCr量とともに耐食性は良くなる(図27<sup>79)</sup>)。オーステナイト鋼の腐食速度は同じCr量のフェライト鋼のそれの数分の一であり、流水中ではさらに差が大きい。フェライト鋼の耐食性を改善するために添加成分の影響をみた研究はほとんどない。最近、原子炉配管における応力腐食割れが問題となつてきているので、フェライトステンレス鋼を見直す必要があると思われる。

オーステナイト鋼についても添加成分の影響をしらべた研究はすくないが、市販鋼種についてのデータは沢山ある。この場合、炭素量、不純物量あるいは熱処理などの影響はないといわれている<sup>78)80)</sup>。いづれにしても市販鋼の侵食度は1m/secくらいの流水中でも10μ/y以下であるので実用上は問題にならない。ただ高温水中の侵

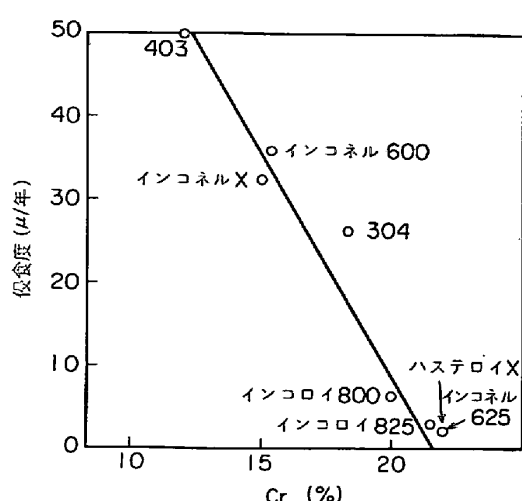


図28 650°C 水蒸気中の市販ステンレス鋼およびニッケル合金の侵食度とCr含量の関係 (RUTHER<sup>81)</sup>, WOZAILDO<sup>99)</sup>ほかのデータを総合作図した)

食度にはCr量が最も重要であるので、ニッケル合金のインコネルやハステロイでCr量の低いものはオーステナイトステンレス鋼よりも侵食度が大きくなる。

### 5.2 水蒸気の場合

高温水の場合と同じくCr量の影響が最も大きい。鉄にCrを添加すると、それが数%程度までのときには酸化膜中の陽イオン空孔を増して酸化が増加するが、約5%以上になるとCrを含むスピネル形酸化物ができるようになって酸化速度は急減する。したがつて、フェライトステンレス鋼の水蒸気中の耐食性はそのCr含量によつて左右される<sup>81)82)</sup>。

Crステンレス鋼にNiを添加すれば水蒸気中の耐食性をよくするといわれるが<sup>83)</sup>、20%以上でないと効果がないともいわれる<sup>84)</sup>。むしろこの場合にもCr量の影響の方がはるかに強力で、たとえば、市販のステンレス鋼やニッケルの合金の耐酸化性<sup>81)99)</sup>をCr量で整理するとNi, MoあるいはFe量などのちがいがあるにもかかわらず図28のような直線関係がえられる。その他に耐酸化性を改良する成分として知られているものにV<sup>82)</sup>, Mo<sup>83)</sup>, Si<sup>82)83)85)</sup>およびAl<sup>86)</sup>などがあるが、このなかでも特に顕著に効果のあるのはAlである。Alが耐酸化性の改善に効果のある例としてはカンタル合金が知られているが、AISI 406鋼の耐酸化性は極めてすぐれており、特に高温で良い。しかし高温クリープと加工性に問題がある。またこれらの合金元素の影響をしらべる時に注意しなければならないのは結晶粒度が酸化速度に影響することである<sup>85)87)</sup>。粒界はCrの拡散が早く、良い酸化物被膜ができやすいので、粒度が小さいほど耐酸化性は良くなると説明されている。

### 5.3 表面処理の影響

炭素鋼も<sup>89)90)</sup>、ステンレス鋼も、ニッケル合金でも高

温水中的耐食性では電解研磨、化学研磨あるいは光輝焼なましなどの滑らかな面の方が良いことは広く認められている<sup>90)91)</sup>。しかしその効果も温度が高くなるか、あるいは水流速がますと消えてしまうともいわれる<sup>68)</sup>。一方、水蒸気の場合には全く逆で機械研磨面の方が耐食性がよい<sup>84)87)92)</sup>。この場合、加工によりCrの拡散が促進されてCrの酸化物が早くできるためと説明されているが<sup>87)</sup>高温水の場合の理由は明らかでない。

## 6. おわりに

伝熱用物質として水を使う装置における水処理は、苛性アルカリから磷酸塩処理、揮発性薬品処理、さらに中性水使用の提案へと変化してきているが、それらの処理を評価するには全面腐食量のほかにクラッドの生成とその沈析、復水器の漏洩などによる塩化物の混入や熱流束による溶質の濃縮による局部腐食を考慮することが必要であり、特に中性水を用い溶存酸素の腐食抑制作用を利用する場合をも含めて応力腐食割れとその対策について徹底的に研究しなければならない。応力腐食割れはステンレス鋼やニッケル合金のみならず銅合金<sup>93)</sup>にもまた最近は低合金鋼<sup>94)~96)</sup>にも事例が報告されているので、材料側の研究も怠れない。蒸気発生器の事例でも水処理については研究されているが材料側の研究が行なわれたことを聞かない。

環境側の研究でも材料側の研究でも、熱流束があり、流体が流れていながらも相変化まであるような条件下で溶存ガスを制御した実験をしなければならない。このような複雑なしかも装置的にむづかしい場合においてはなおのこと実験条件の基礎的意味が明らかでなければならないので、高温高圧での電位あるいは分極などの測定技術の確立が望まれ、これによつて設定条件を整理し、方法を簡略化し、できれば迅速試験法の提案にまでもついていきたいものである。

## 文献

- 1) 下平: 鉄と鋼, 55(1969), p. 604  
小若: 鉄と鋼, 60(1974), p. 427
- 2) M. POURBAIX: *Atlas of Electrochem. Equilibria in Aqueous Solution*, (1966), p. 309, [Pergamon Press]
- 3) G. SCHIKORR: Z. anorg. Allgem. Chem., 212 (1933), p. 33
- 4) J. E. CASTLE and H. G. MASTERTON: Corros. Sci., 6(1966), p. 93
- 5) J. E. CASTLE and G. M. W. MANN: Corros. Sci., 6(1966), p. 253
- 6) E. C. POTTER and G. M. W. MANN: Met. Corros. (1961), p. 417 [Butterworths]
- 7) E. C. POTTER and G. M. W. MANN: Proc. 2nd Int. Cong. Metallic Corros., (1963), p. 872 [Nat. Assoc. Corros. Engs.]
- 8) H. E. TOWNSEND: Corros. Sci., 10(1970), p. 343
- 9) D. LEWIS: Studsvik Rep. AE-432, (1971)
- 10) R. J. BIERNAT and R. G. ROBINS: Electrochim.

- Acta, 17(1972), p. 1261
- 11) M. C. BLOOM and S. H. SMITH Jr.: Proc. 25th Conf. (1970), p. 276 [Nat. Assoc. Corros. Engrs.]
  - 12) E. M. FIELD and D. R. HOLMES: Corros. Sci., 5(1965), p. 361
  - 13) H. A. FRIGGENS and D. R. HOLMES: Corros. Sci., 8(1968), p. 871
  - 14) J. B. MOORE and R. L. JONES: J. Electrochem. Soc., 116(1969), p. 1083
  - 15) P. H. EFFERTZ: Proc. 5th. Int. Cong. Metallic Corros. (1974), p. 920 [Nat. Assoc. Corros. Engrs.]
  - 16) G. J. BIGNOLD: Corros. Sci. 12(1972), p. 145
  - 17) M. WARZEE, C. SONNEN, and P. BERGE: EURAEC-Rep. 1896 (1967)
  - 18) W. E. BERRY: Int. Conf. High. Temp. High Press. Electrochem. in Aqueous Sol. No. A-6 (1973)
  - 19) 伊藤, 池田, 渡辺: 金材技研報告, 5(1962), p. 119
  - 20) H. KIRSCH: Werkstoffe Korrosion, 22 (1971), p. 527
  - 21) G. M. W. MANN and P. W. TEARE: Corros. Sci., 12(1972), p. 361
  - 22) F. H. SWEETON and C. F. BAES: J. Chem. Thermodynamics, 2, (1970), p. 479
  - 23) M. A. STYRIKOVICH: Teploenergetika, 18(1971), p. 82
  - 24) G. M. W. MANN: Chem. Ind., (1964), p. 1584
  - 25) M. PRÖGER: Werkstoffe Korrosion, 22(1971), p. 315
  - 26) H. G. HEITMAN and F. KELP: VGB Kraftwerkstechnik, 53 (1973)
  - 27) W. M. M. HUIJBREGTS, A. SNEL, and N. V. KEMA: Proc. 5th ICMC(1974), p. 857
  - 28) K. VIEDEM, L. LUNDE, S. AAS, and K. FJELLESTAD: 4th Int. Conf. Peaceful Uses Atomic Energy, A/CONF., 49/p/296 (1971)
  - 29) 宮川, 宮島, 栄, 白川: 火力発電, 22(1971) 2, p. 14
  - 30) W. L. PEARL and G. P. WOZADLO: Corros., 21 (1965), p. 260
  - 31) E. M. HORNSVELD: Kjeller Rep. KR-127, (1968)
  - 32) N. G. RASSOKHIN, L. P. KABANOV, S. A. TEVLIN, and V. A. TERSIN: Int Conf. High Temp. High Press. Electrochem. in Aqueous Sol., Paper No. B-7 (1973)
  - 33) L. F. PICONE and G. R. TAYLOR: US-AEC-Rep. WCAP-6072 (1966)
  - 34) 伊藤: 防食技術便覧(学振97委員会編), (1972), p. 263 [日刊工業新聞社]
  - 35) D. C. VREELAND, G. G. GAUL, and W. L. PEARL: Corros. 18(1962), p. 368t
  - 36) K. A. NESMEYANVA, E. B. MATZKEVICH, and V. G. KASATKINA: Proc. 3rd ICMC, 4 (1969), p. 270 [Swets & Zeitlinger]
  - 37) K. VIEDEM: Kjeller Rep. KR-39 (1963)
  - 38) E. G. BRUSH and W. L. PEARL: Corros., 28 (1972), p. 129
  - 39) G. BOHNSACK: VGB Kraftwerkstechnik, 53 (1973), p. 383
  - 40) B. BORRIS: VGB Kraftwerkstechnik, 54(1974), p. 324
  - 41) K. A. NESMEYANVA: Z. Atomnaya Energiya, 29(1970)8, p. 86
  - 42) R. K. FREIER: Allianz Ber., 16(1971), p. 8
  - 43) R. K. FREIER: VGB-Speisewassertagung, (1970), p. 8
  - 44) R. K. FREIER: Vordem Wasser, 38(1971), p. 443
  - 45) T. V. ARDEN: J. Chem. Soc. (1950), p. 882
  - 46) M. C. BLOOM: 21st Annual Water Conf. Pittsburgh (1960)
  - 47) B. E. WILDE: Corros., 24(1968), p. 338
  - 48) M. POURBAIX: Corros. Sci., 14(1974), p. 25
  - 49) D. C. VREELAND, G. G. GAUL, and W. L. PEARL: Corros., 17(1961), p. 269t
  - 50) E. G. BRUSH and W. L. PEARL: Amer Power Conf., 31(1969), p. 699 : 32, (1970), p. 751
  - 51) 松島, 泉谷, 水庭, 大角: 日立評論, 58(1976), p. 93
  - 52) VGB, (1972), April
  - 53) R. K. FREIER: VGB-Speisewassertagung, (1969), p. 11
  - 54) G. RESCH: VGB-Speisewassertagung, (1969), p. 17
  - 55) L. E. LESURF, P. E. BRYANT, and M. G. TANNER: Corro., 23(1967), p. 57
  - 56) 伊藤: ステンレス鋼便覧(長谷川正義編), (1973), p. 297 [日刊工業新聞社]
  - 57) P. L. HARRISON, G. R. PEARSE, and K. K. AFZULPURKAR: Corros. Sci., 10 (1970), p. 585
  - 58) G. M. W. MANN: Int. Conf. High Temp. High Press. Electrochem. in Aqueous Sol. Paper, No. A-5 (1973)
  - 59) 渡辺: 火力発電技術協会関東支部講習会教材, (1976), p. 58
  - 60) 浜尾, 坂本: 火力原子力発電, 24(1973)11, p. 42
  - 61) 横関: 火力発電技術協会関東支部講習会教材, (1975), p. 51
  - 62) 向坊, 増川: 防蝕技術, 14(1965), p. 163
  - 63) G. J. BIGNOLD, R. GARNSEY, and G. M. W. MANN: Corros. Sci., 12(1972), p. 325
  - 64) H. G. MASTERSON, J. E. CASTLE, and G. M. W. MANN: Chem. Ind. (1969), p. 1261
  - 65) 浅井: 電気化学, 35(1967), p. 638
  - 66) 浅井, 川島: 電気化学, 34(1966), p. 761
  - 67) R. GARNSEY, B. HEARN, and G. M. W. MANN: J. Brit. Nucl. Eng. Soc., 11(1972), p. 65
  - 68) 前川, 香川, 中島: 日本金属学会誌, 31(1967), p. 1213
  - 69) M. WARZEE, W. R. RUSTON, P. de DORLODT, J. HENNAUT, and P. H. BERGE: Proc. 3rd ICMC 4(1969), p. 391 [Swets & Zeitlinger]
  - 70) 伊藤, 清水, 佐藤: 防蝕技術, 18(1968), p. 345
  - 71) M. A. STYRIKOVICH and O. I. MARTYNOVA: World Power Conf., Paper-141, (1966)
  - 72) D. R. HOLMES and G. M. W. MANN: Corros., 21(1965), p. 370
  - 73) 栄, 土居, 鬼村: 三菱重工技報, 7(1970), p. 612 8(1971), p. 42
  - 74) N. N. MANKINA: Teproenergetika, 7(1960) 3, p. 8

- 75) R. GASPARINI and E. IOANNILLI: Proc. Amer. Power Conf., (1971), p. 33
- 76) T. J. KABELE and J. W. BAKTLETT: Chem. Engng. Prog. Symp. Ser., 66 (1970) 104, p. 12
- 77) T. K. ROSS: Brit. Corros. J., 2 (1967), p. 131
- 78) E. C. POTTER: Proc. 3rd ICMC, 4 (1969), p. 211 [Swets & Zeitlinger]
- 79) 伊藤, 清水, 石原, 藤井: Int. Nickel Power Conf., Paper No. 8, (1972)
- 80) W. E. BERRY: US-AEC-Rep. TID-7587, (1959), p. 71
- 81) W. E. RUTHER and S. GREENBERG: J. Electrochem. Soc., 111 (1964), p. 1116
- 82) I. L. KHARINA, V. M. NIKIFOROVA, and A. V. RIABCHENKOV: Proc. 3rd ICMC, 4 (1969), p. 262 [Swets & Zeitlinger]
- 83) H. CORIOU, R. DARRAS, L. GRALL, O. KONOWALTSCHIKOFF, M. PELRAS, J. SANNIER, and R. TÉRAUBE: 4th Int. Conf. Peaceful Uses Atomic Energy, A/CONF., 49/P/576 (1971)
- 84) W. HÜBNER: Proc. 5th Int. Scandinavian Corros. Cong., 1 (1968), p. 14-1~14-29 [The Denish Corros. Centre]
- 85) 小若: Int. Nickel Power Conf. Paper No. 1 (1972)
- 86) W. E. RUTHER, R. R. SCHLUETER, [R. H. LEE, and R. K. HART: Corros., 22 (1966), p. 147
- 87) 小若, 永三: 日本金属学会誌, 36 (1972), p. 486
- 88) D. L. DOUGLAS and F. C. ZYZES: Corros., 13 (1957), p. 361t
- 89) M. WARZEE, J. HENNANT, M. MAURICE, and J. WATY: EURAC-Rep. No. 1764 (1966)
- 90) M. WARZEE, J. HENNAUT, M. MAURICE, C. SONNEN, J. WATY, and Ph. BERGE: J. Electrochem. Soc. 112 (1965), p. 670
- 91) D. VAN ROOYEN, H. R. COPSON, and W. E. BERRY: Corros., 25 (1969), p. 194
- 92) S. LEISTIKOW: Proc. 4th ICMC, (1972), p. 278 [Nat. Assoc. Corros. Engrs.]
- 93) 佐藤, 永田: 防食技術, 23 (1974), p. 125
- 94) J. A. BOARD: J. Inst. Metals, 101 (1973), p. 241
- 95) J. G. PARKER and M. A. SADLER: Corros. Sci., 15 (1975), p. 57
- 96) T. G. McCORD, B. W. BUSSERT, R. M. CURRAN, and G. C. GOULD: Mat. Perform., 15 (1976), p. 25
- 97) 諸石: 住友金属, 25 (1973), p. 173
- 98) S. JANSSON, W. HÜBNER, G. ÖSTBERG, and M. de POURBAIX: Brit. Corros. J., 4 (1969), p. 21
- 99) G. P. WOZAILDO and W. L. PEARL: Corros., 21 (1965), p. 355